

II-175 降雨・流長に関する水理模型について

鳥取大学工学部 正会員 寺西 靖治
／ 学生員 村瀬 義典

1. まえがき 市街地雨水流出解析を行なうにあたってまず第一に要求されることは、現地における観測データの収集であるが、そのためには多大の日数と労力とを要する。そこで、これを補うために、自然降雨現象および流出現象をシミュレートした実験装置を用いることが有効な手段となる。本研究は実際に設計・製作を試みた降雨シミュレーターに関して得られた成果である¹⁾。

2. 降雨装置の概要および性能 本装置の概要を図-1に示すとおりである。大別して降雨発生部と移動台とに分けられる。降雨発生部は1ユニットが内ノリ $1m \times 1m \times 50mm$ の透明合成樹脂の水槽で、その底面には内径 $0.8mm$ 、外径 $1.2mm$ のステンレス管が中心間隔 $5cm$ で取り付けられている。ユニットの数はタテ3個、ヨコ3個合計9個あり、おのおの独立して高位水槽に連結されている。したがって、ユニットごとに流量調整が可能であって、降雨強度は $0 \sim 400mm/hr$ の範囲で任意に設定できる。

高位水槽出口にはフローター式流量計を取り付けられており、これによってただちに降雨強度が測定される。移動台は台車の上に平面積 $3m \times 3m = 9m^2$ の資料台を載せたもので、手動または電動式によってレール上を移動するものである。電動式運転の場合には、台車走行速度は $2.6 \sim 31.6cm/sec$ の範囲で任意に設定できる。この装置は降雨域の移動を再現するために設けられた。

3. 雨滴発生機構 雨滴発生に関する因子は、管内流による力 F_v 、管末端における表面張力 F_s および雨滴自重による力 F_w である。 $F_v + F_s < F_w$ のときに管出口において雨滴の形成が進行し、 $F_v + F_s = F_w$ になった時点で雨滴形成は完了し、次の瞬間に落下する。また、降雨強度がある限度以上になると、 $F_v + F_s > F_w$ となりて雨滴落下は連続流れに変わる。本実験装置においては降雨強度 $280mm/hr$ のときにこの現象がみられた。雨滴形成過程の例を図-2に示す。この図によつて測定される雨滴形を半円の回転体と見なし、この体積と等しい球の直径を求めて、降雨強度との関係を示したもののが図-3である。同一降雨強度であつても雨滴径にはややばらつきがあるが、 $I = 0 \sim 200mm/hr$ の範囲では $d = 3.04 \sim 3.53mm$ であり、 $I > 200mm/hr$ となれば

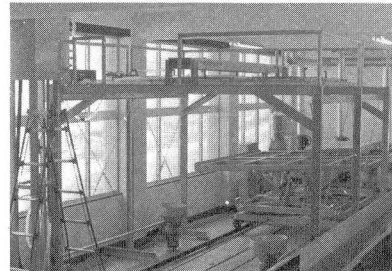


図-1 雨水流实验装置

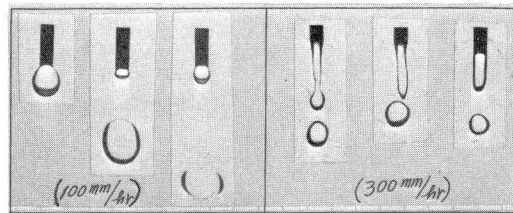


図-2 雨滴形成過程

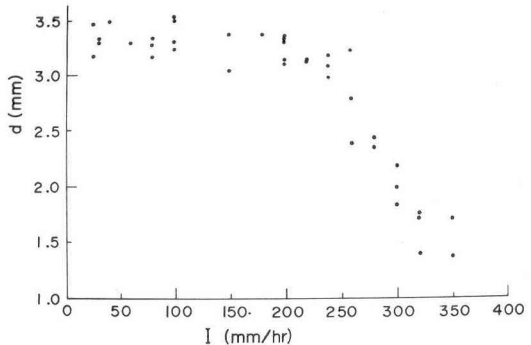


図-3 降雨強度～雨滴径関係図

d は急激に減少することが認められる。²⁾ 実験装置によって生成される雨滴径は管内径 d_t によって定まり、一般に次式で表わされる。

$$d = 0.182 (\rho' d_t)^{1/3} \quad \dots \dots \dots (1)$$

(1)式は本実験装置に適用すると、 $d = 3.29\text{ mm}$ が得られ、上記実験値の平均値と一致する。

4. 落下速度 雨滴の落下速度は、地上に到達したときの飛沫であるハリ砂の飛散³⁾を究明する上で重要な要素となる。雨滴の最終落下速度は、雨滴重量と雨滴が最終形状になったときの抗力⁴⁾と等しいとして次式のように得られる。

$$V_t = (4\omega d^3 / 3\rho C_d d_t^2)^{1/2} \quad \dots \dots \dots (2)$$

ここで、 V_t ：雨滴最終落下速度(m/sec)、 ω ：水の単位重量(kg/m^3)、 d ：雨滴径(m)、 d_t ：雨滴最終形状の直径=($1 \sim 1.25$) d (m)、 ρ ：空気密度($\text{kg}\cdot\text{sec}^2/\text{m}^4$)、 C_d ：抵抗係数(レイノルズ数の関数)、である。(2)式によつて V_t が与えられるならば、落距離 x における速度 V は次式によつて得られる。

$$V = V_t \{1 - \exp(-2gx/V_t^2)\}^{1/2} \quad \dots \dots \dots (3)$$

(2)式を用いて、本実験の場合の V_t の最大値($d_t = d$ のとき)、および最小値($d_t = 1.25d$ のとき)を求めると、 $d = 3.3\text{ mm}$ 、 $\omega = 999\text{ kg/m}^3$ (15°C)、 $\rho = 0.125\text{ kg}\cdot\text{sec}^2/\text{m}^4$ (15°C , 760 mm Hg)、 $C_d = 0.37$ ($d_t = d$ のとき)、 0.38 ($d_t = 1.25d$ のとき)、として、 $V_{t\max} = 9.7\text{ m/sec}$ 、 $V_{t\min} = 7.7\text{ m/sec}$ となる。一方、本装置における実際の雨滴落下速度を測定するために、ストップ撮影を行なつた。得られた結果が(3)式を用いて図-4に示す。本装置の運転に際しての最大～最小落距離は $2.0 \sim 0.6\text{ m}$ であるが、この間では降雨強度にかかわらず、理論値と実験値とがよく一致することが認められた。

5. おさび 自然降雨の発生機構は複雑であるが、簡単にいって、凝結核→雲粒→水滴→雨滴といった生成過程をとる。落下途中において付着、衝突、分裂をくりかえしているので、地上に到達した時点での種々の大きさの雨滴が存在する。統計的に雨滴径 $d(\text{mm})$ と降雨強度 $I(\text{mm/hr})$ との間に $d = 1.24 I^{1/12}$ なる関係があるといつてあるが³⁾、実際には最大 $5 \sim 6\text{ mm}$ 程度までしか成長しないといわれる。こゝを本例に適用するならば、 $d = 3.3\text{ mm}$ として $I = 200\text{ mm/hr}$ となる。また、自然降雨の終末速度は 9 m/sec 程度と報告されている⁴⁾。今回得られた結果は、今後雨水流出実験を行なうにあたって、1つの指針となり得べきものであるが、流域過程に関する相似則の適用が考へらるるので、目的に応じて両者を勘案せねばならぬ。

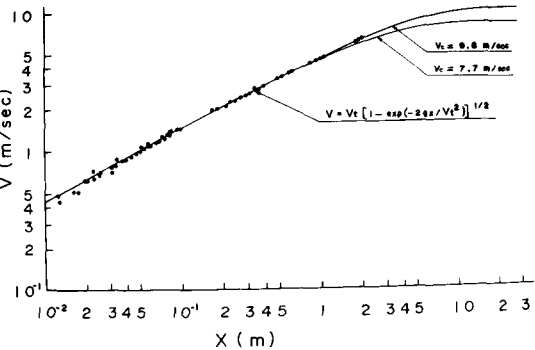


図-4 落下距離～落下速度関係図

1) 第46.5. 土木学会中日四日会議講演会において一部発表済み

2) Chow,T.V., and T.E. Harbaugh., Raindrop Production for Laboratory Watershed Experimentation, Jr. of Geophysical Research, Vol. 70, No. 24, 1965

3) Laws, J.O., and D.A. Parsons., The Relation of Raindrop Size to Intensity, Trans, Am. Geophys. Union, 24, 1943

4) Laws, J.O., Measurements of the Fall-Velocity of Water-Drops and Raindrops, Trans, Am. Geophys. Union, 22, 1941